

DS 6 . Correction

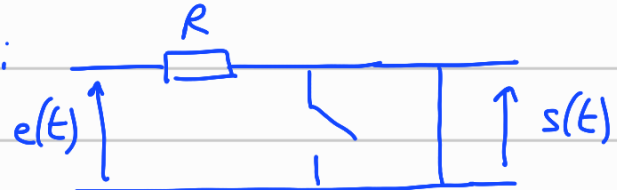
Ex 1

$QI * \bar{A}$ basse fréquence :

$$|Z_C| = \frac{1}{C\omega} \rightarrow +\infty \Leftrightarrow \text{---} \quad (\text{interrupteur ouvert})$$

$$|Z_L| = L\omega \rightarrow 0 \Leftrightarrow \text{---} \quad (\text{fil})$$

\Rightarrow Circuit équivalent :



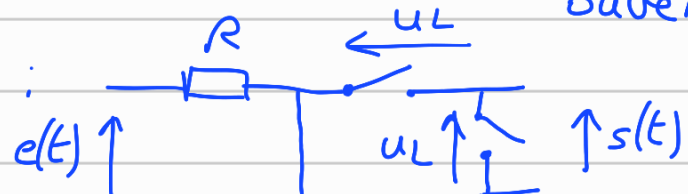
$\Rightarrow s = 0$ (tension nulle aux bornes d'un fil)

* \bar{A} haute fréquence :

$$|Z_C| = \frac{1}{C\omega} \rightarrow 0 \Leftrightarrow \text{---} \quad (\text{fil})$$

$$|Z_L| = L\omega \rightarrow +\infty \Leftrightarrow \text{---} \quad (\text{interrupteur ouvert})$$

\Rightarrow Circuit équivalent :



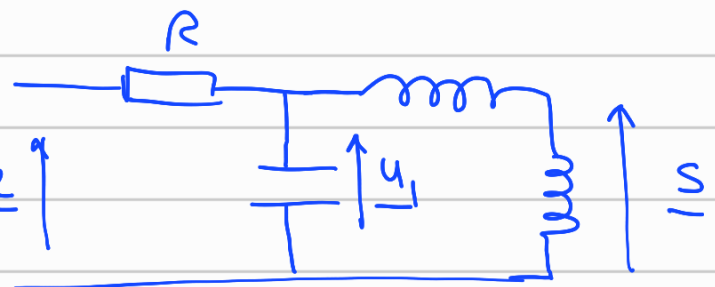
or $s(t) + u_L = 0$ (tension aux bornes d'un fil)

$\Rightarrow u_L = 0$ (les 2 bobines sont traversées par le même courant, qui est nul pour $\omega \rightarrow \infty$)

$\Rightarrow s = 0$

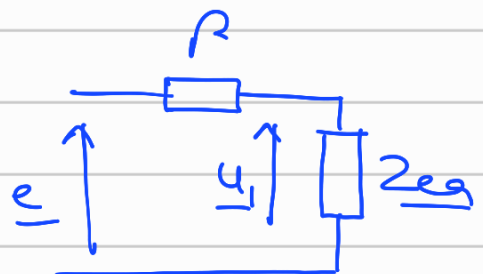
\Rightarrow Ce filtre ne transmet ni les basses fréquences, ni les hautes fréquences
 \Rightarrow passe-bande.

$$Q2. \underline{H}(j\omega) = \frac{\underline{s}}{\underline{e}}$$



Par un pont diviseur de tension on a $\underline{s} = \frac{\underline{u}_1}{2}$

Et avec une impédance équivalente on a:



$$\underline{u}_1 = \frac{\underline{Z}_{eq}}{\underline{R} + \underline{Z}_{eq}} \underline{e} = \frac{1}{1 + \frac{\underline{R}}{\underline{Z}_{eq}}} \underline{e}$$

$$\text{avec } \frac{1}{\underline{Z}_{eq}} = j\omega + \frac{1}{2jL\omega}$$

$$\text{D'où } \underline{s} = \frac{1}{2(1 + jR\omega + \frac{R}{2jL\omega})} \underline{e}$$

$$\Rightarrow \underline{H}(j\omega) = \frac{1}{2 + j2R\omega + \frac{R}{jL\omega}} = \frac{jL\omega/R}{1 + \frac{jL\omega}{R}(2 + 2jR\omega)}$$

$$\boxed{\underline{H}(j\omega) = \frac{j\frac{L}{R}\omega}{1 + 2j\frac{L}{R}\omega - 2LC(j\omega)^2}}$$

$$Q3. \quad H(j\omega) = \frac{j\frac{L}{R}\omega}{1 - 2LC\omega^2 + 2j\frac{L}{R}\omega}$$

Par identification : $\left\{ \begin{array}{l} 2LC = \frac{1}{\omega_0^2} \\ \frac{2L}{R} = \frac{1}{\omega_0 Q} \\ \frac{L}{R} = \frac{H_0}{\omega_0 Q} \end{array} \right.$

$$\Rightarrow \omega_0 = \frac{1}{\sqrt{2LC}}$$

$$Q = \frac{R}{2L\omega_0} = \frac{R\sqrt{2LC}}{2L} = R \sqrt{\frac{C}{2L}}$$

$$H_0 = \frac{L\omega_0 Q}{R} = \frac{L}{\sqrt{2LC}} \cdot R \sqrt{\frac{C}{2L}} \cdot \frac{1}{R} = \frac{1}{2}$$

$\omega_0 = \frac{1}{\sqrt{2LC}}$	$Q = R \sqrt{\frac{C}{2L}}$	$H_0 = \frac{1}{2}$
-----------------------------------	-----------------------------	---------------------

AN: $\omega_0 = \frac{1}{\sqrt{2 \cdot 10^{-3} \cdot 10^{-7}}} = 7,07 \cdot 10^4 \text{ rad.s}^{-1}$

$$Q = 10^4 \sqrt{\frac{10^{-7}}{2 \cdot 10^{-3}}} = 70,7$$

Q4. De 10^{-1} à 10^0 , G_{dB} augmente de 20dB
 \Rightarrow pente de l'asymptote $BF = +20 \text{ dB/dec}$.

De 10^0 à 10^1 , G_{dB} diminue de 20 dB
 \Rightarrow pente de l'asymptote $HF = -20 \text{ dB/dec}$.

Q5 D'après la fonction de transfert :

$$G = |H(jx)| = \frac{H_0 \sqrt{x/Q}}{\sqrt{(1-x^2)^2 + \frac{x^2}{Q^2}}}$$

* À basse fréquence : $\omega \ll \omega_0 \Rightarrow x \ll 1$

$$G \sim \frac{H_0 x/Q}{1} = \frac{x H_0}{Q}$$

$$\text{d'où } G_{dB} \sim +20 \log x + 20 \log \frac{H_0}{Q}$$

\Rightarrow on retrouve bien la pente à +20dB/dec observée sur le diagramme.

* À haute fréquence : $\omega \gg \omega_0 \Rightarrow x \gg 1$

$$G \sim \frac{H_0 x/Q}{x^2} = \frac{H_0}{Qx}$$

$$\text{d'où } G_{dB} \sim -20 \log x + 20 \log \frac{H_0}{Q}$$

$$\Rightarrow \text{pente à } -20 \text{ dB/dec}.$$

Intersection des asymptotes pour $x = 10^0$
et valeur de G_{dB} pour $x = 1$: $20 \log \frac{H_0}{Q} \sim -43 \text{ dB}$

$$Q6. \quad \varphi = \arg(H) = \arg\left(\frac{H_0 jx/Q}{1-x^2+jx^2/Q}\right)$$

La partie réelle du dénominateur n'est pas toujours positive \Rightarrow on divise numérateur et dénominateur par $\frac{jx}{Q}$

$$\varphi = \arg\left(\frac{\frac{H_0}{1-x^2}}{1+\frac{jx^2}{jx/Q}}\right) = 0 - \arg\left(1-j\frac{Q(1-x^2)}{x}\right)$$

* À basse fréquence $x \ll 1$: $\varphi = -\arg\left(1-j\frac{Q}{x}\right)$

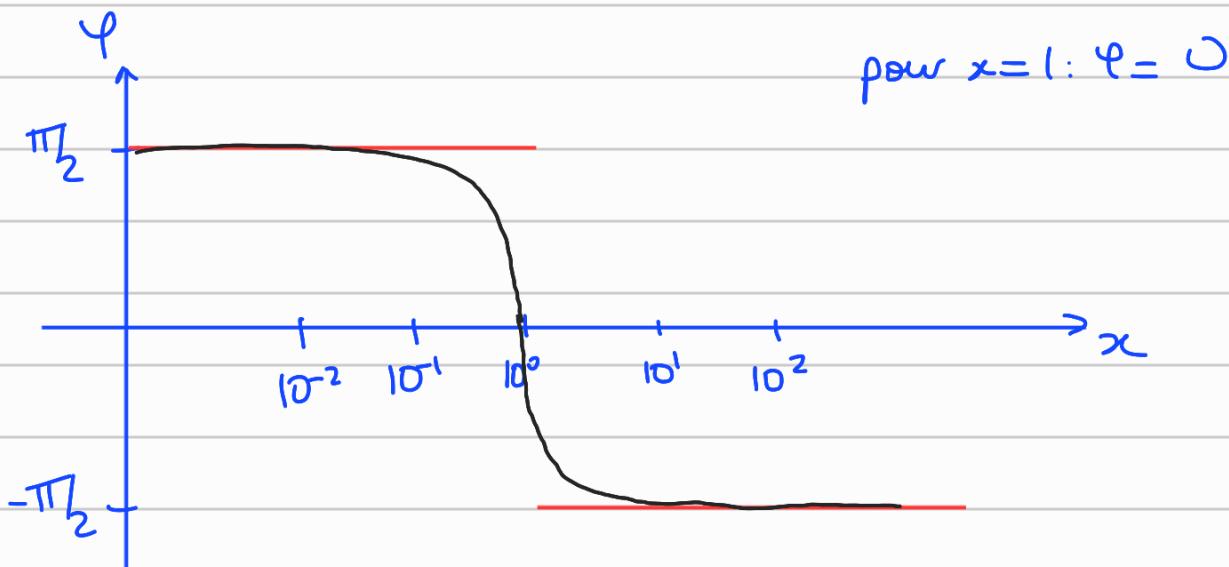
$$\varphi = -\arctan\left(-\frac{Q}{x}\right)$$

Pour $x \rightarrow 0$ $\varphi \rightarrow \frac{\pi}{2}$

* À haute fréquence $x \gg 1$ $\varphi = -\arg\left(1+jQx\right)$

$$\varphi = -\arctan\left(\frac{Qx}{1}\right)$$

Pour $x \rightarrow +\infty$ $\varphi \rightarrow -\frac{\pi}{2}$



$$Q7. \quad G_1 = G_{dB}(z=1) = 20 \log \left(\frac{H_0 / Q}{\sqrt{(1 - 1^2)^2 + \frac{1^2}{Q^2}}} \right)$$

$$G_1 = 20 \log H_0$$

$$G_1 = 20 \log \left(\frac{1}{2} \right) = \underline{-6 \text{ dB}}.$$

G_2 correspond à l'intersection des asymptotes

$$G_2 = 20 \log \frac{H_0}{Q}$$

$$G_2 = \underline{-43 \text{ dB}} \quad (\text{voir Q5})$$

\Rightarrow cohérent avec le diagramme !

Q8. On a un intégrateur si $s(t) = \int e dt$

$$\Rightarrow \text{Passage en complexes : } s = \frac{e}{j\omega}$$

$$\Rightarrow \frac{s}{e} = \frac{1}{j\omega} \quad \Rightarrow \underline{H(j\omega)} = -\frac{j}{\omega} = \frac{1}{\omega} e^{-j\pi/2}$$

$$G_{dB} = -20 \log \omega \Rightarrow \text{pente à } -20 \text{ dB/dec}$$

$$\varphi = \arg(\underline{H}) = -\pi/2$$

\Rightarrow à haute fréquence on a bien une pente à -20 dB/dec et une phase de $-\pi/2$ (pour $\omega > 4$)

On a un dérivateur si $s(t) = \frac{de(t)}{dt}$

$$\Rightarrow \underline{s} = j\omega \underline{e} \quad \Rightarrow \underline{H}(j\omega) = j\omega = \omega e^{j\pi/2}$$

$$G_{dB} = +20 \log \omega$$

$$\Psi = \arg(\underline{H}) = +\pi/2$$

\Rightarrow à basse fréquence, on a bien une pente à $+20 dB/dec$ et une phase de $+\pi/2$ (pour $x < 3 \cdot 10^{-1}$)

Ce montage présente cependant un gain très faible à basse et haute fréquence \Rightarrow les harmoniques concernées seront beaucoup atténuerées, d'où une qualité de l'intégration ou de la dérivation faible.

$$\begin{aligned} Qg - \underline{s}_1(t) &= \underline{H}(0) E_0 e^{j\varphi(0)} + \underline{H}(\omega_1) \cdot E_{im} e^{j\omega_1 t} \\ &= G(\omega_1) E_{im} e^{j(\omega_1 t + \varphi(\omega_1))} \\ &= \frac{H_0 x / Q E_{im}}{\sqrt{(1-x^2)^2 + \frac{x^2}{Q^2}}} e^{j(\omega_1 t - \arg(1 - j \frac{Q(1-x^2)}{x}))} \end{aligned}$$

avec $x = 1$ car $\omega_1 = \omega_0$ (et $H(0)=0$)

$$\Rightarrow \underline{s}_1(t) = \frac{H_0}{Q} \frac{E_{im}}{\sqrt{1/Q^2}} e^{j(\omega_0 t - 0)}$$

$$s_1(t) = \frac{E_{1m}}{2} \cos(\omega_0 t)$$

$$\text{Q10. } E_{2\text{eff}} = \sqrt{\frac{1}{T} \int_0^T e_2^2(t) dt} = \sqrt{\frac{1}{T} \int_0^{T/2} e_2^2 dt + \frac{1}{T} \int_{T/2}^T e_2^2 dt}$$

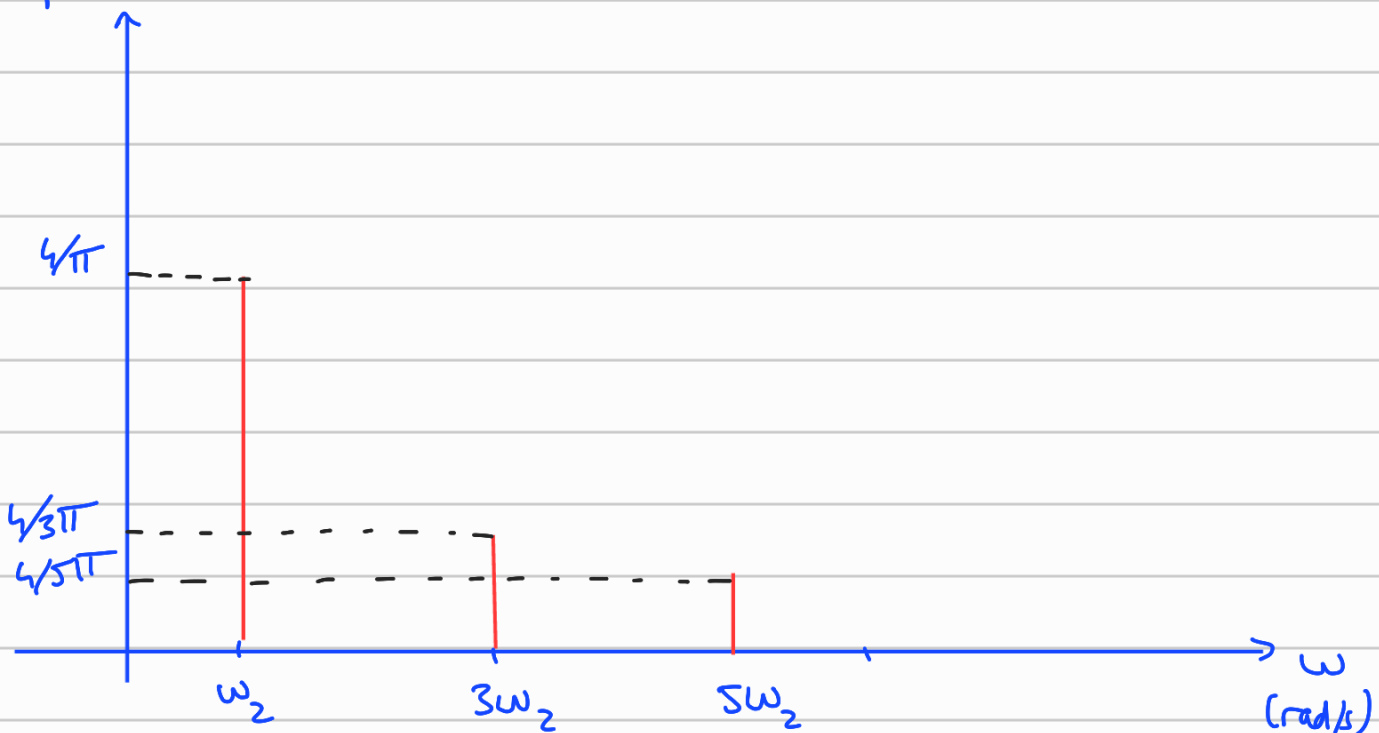
$$= \sqrt{\frac{1}{T} \int_0^{T/2} \bar{E}_{2m}^2 dt + \frac{1}{T} \int_{T/2}^T (\bar{E}_{2m})^2 dt} = \sqrt{\frac{\bar{E}_{2m}^2}{T} \left(\frac{T}{2} - 0 + T - \frac{T}{2} \right)}$$

$$\bar{E}_{2\text{eff}} = \bar{E}_{2m}$$

Q11 amplitude de l'harmonique n impair:

$$S_{z(2n+1)m} = \frac{4}{\pi} \bar{E}_{2m} \frac{1}{2n+1} = \frac{4\bar{E}_{2m}}{(2n+1)\pi}$$

amplitude (V)



Q12 Sur le diagramme de Bode en gain
 on lit $G_{dB}(w_0) = G_{dB}(x=1/3) = -52 \text{ dB}$
 $G_{dB}(3w_0) = G_{dB}(x=1) = -6 \text{ dB}$
 $G_{dB}(5w_0) = G_{dB}(x=5/3) = -44 \text{ dB}$

avec $G_{dB} = 20 \log \frac{\text{amplitude de sortie}}{\text{amplitude d'entrée}}$

amplitudes en sortie : $10^{\frac{G_{dB}}{20}} \times \text{amplitude d'entrée}$

$$* 1^{\text{er}} \text{ pic} : = 10^{-\frac{52}{20}} \cdot \frac{4E_{2m}}{\pi} = 3,2 \cdot 10^{-3} \text{ V}$$

$$* 2^{\text{ème}} \text{ pic} : 10^{-\frac{6}{20}} \cdot \frac{4E_{2m}}{3\pi} = 0,21 \text{ V}$$

$$* 3^{\text{ème}} \text{ pic} : 10^{-\frac{44}{20}} \cdot \frac{4E_{2m}}{5\pi} = 1,6 \cdot 10^{-3} \text{ V}$$

$$Q13 s_2(t) = 3,2 \cdot 10^{-3} \sin(\omega_2 t + \varphi_1) + 0,21 \sin(3\omega_2 t + \varphi_2)$$

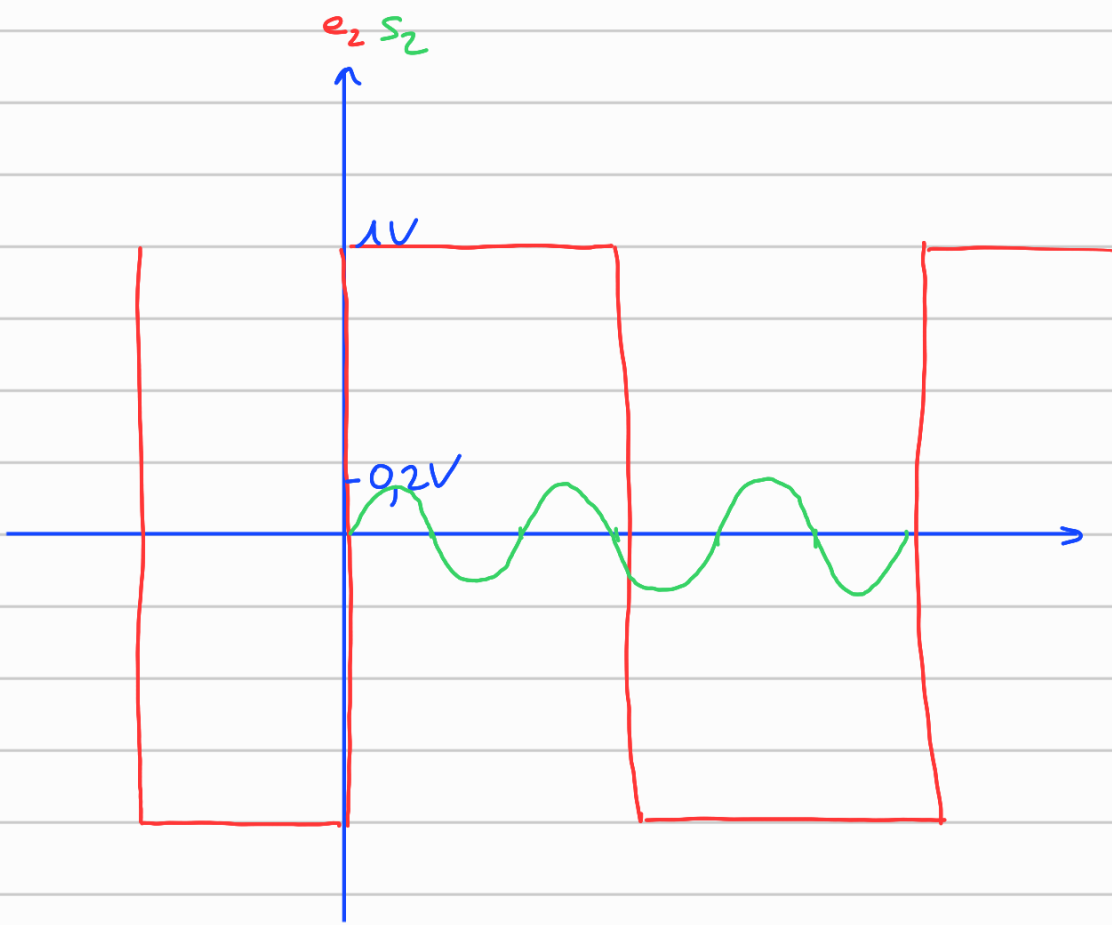
$$+ 1,6 \cdot 10^{-3} \sin(5\omega_2 t + \varphi_3)$$

$$\text{avec } \varphi = \arg(H) = -\arg\left(1 - j \frac{Q(1-x^2)}{x}\right)$$

$$* \text{pour } x = 1 \quad \varphi_2 = 0$$

on peut négliger les harmoniques 1 et 5
 car leurs amplitudes sont très faibles.

$$\Rightarrow s_2(t) = 0,21 \sin(3\omega_2 t + 0) = 0,21 \sin(7,07 \cdot 10^7 t)$$



Exercice 2 :

Q1. $\vec{F}_g = -G \frac{m_1 m_2}{r^2} \vec{e}_r$

avec $\vec{u}_r = \frac{\vec{r}_L}{r_L}$

Q2. Il est judicieux de se placer dans le référentiel géocentrique R_g pour étudier le mouvement de la lune autour de la Terre. Il est centré sur le centre de la Terre et les axes sont dirigés vers des étoiles lointaines.

Q3. La lune est soumise à une seule force (\vec{F}_g) qui est centrale. Le TMC appliqué à la lune donne : $\frac{d\vec{L}_T}{dt} = \vec{J}_T(\vec{F}_g) = \vec{0}$

car \vec{F}_g est porté par une droite qui passe par 0.

$\Rightarrow \vec{L}_T$ est une constante.

Or $\vec{L}_T = \vec{r}_L \times m\vec{v}(L \beta g)$

les vecteurs \vec{r}_L et \vec{v} sont donc à tout instant orthogonaux à un vecteur constant orthogonal à $\vec{L}_T \Rightarrow$ ils sont contenus dans un plan orthogonal à \vec{L}_T , et contenant le centre de force (T).

Q4 En coordonnées polaires $\vec{TL} = r\vec{u}_r$
et $\vec{v} = i\vec{u}_r + r\dot{\theta}\vec{u}_\theta$

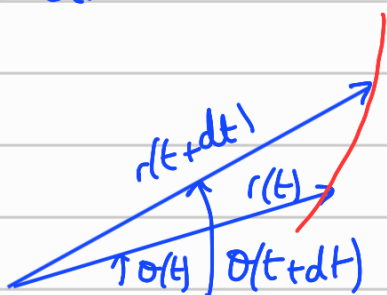
$$\Rightarrow \vec{L}_T = \vec{TL} \wedge m_2 \vec{v} = (r\vec{u}_r \wedge m_2(i\vec{u}_r + r\dot{\theta}\vec{u}_\theta))$$

$$\Rightarrow \vec{L}_T = m_2 r^2 \dot{\theta} \vec{u}_z = \vec{J}_E$$

La quantité $m_2 r^2 \dot{\theta}$ est donc constante,
avec $m_2 = \text{cte}$ on a aussi $r^2 \dot{\theta} = \text{cte}$

On pose $r^2 \dot{\theta} = C$

Q5. Loi des aires : l'aire balayée par
par le vecteur \vec{TL} par unité de
temps est constante au cours du
mouvement.



aire balayée pendant dt :

$$dt = \frac{1}{2} \left(r \cdot r d\theta + \underbrace{rd\theta \cdot dr}_{2\text{nd order}} \right) \approx \frac{1}{2} r^2 d\theta.$$

$$\frac{dt}{dt} = \frac{r^2 \dot{\theta}}{2} = \frac{C}{2}$$

Q6. le PFD appliqu   L dans Rg galil  en donne :

$$m_L \vec{a} = -G \frac{m_L m_T}{r^2} \vec{u}_r$$

On a donc $\vec{a} \cdot \vec{u}_\theta = 0$ et $\vec{a} \cdot \vec{u}_z = 0$.

$$\begin{aligned} Q7. \quad \vec{v} &= \frac{d\vec{r}_L}{dt} = \frac{d(r\vec{u})}{dt} \\ &= \dot{r}\vec{u}_r + r\dot{\theta}\vec{u}_\theta \end{aligned}$$

$$\text{or } \dot{\theta} = \frac{C}{r^2} \Rightarrow \boxed{\vec{v} = \dot{r}\vec{u}_r + \frac{C}{r}\vec{u}_\theta}$$

$$\begin{aligned} \vec{L}_+ &= \vec{r}_L \wedge m_L (r\vec{u}_r + r\dot{\theta}\vec{u}_\theta) \\ &= r\vec{u}_r \wedge m_L (r\vec{u}_r + r\dot{\theta}\vec{u}_\theta) \\ &= m_L r^2 \dot{\theta} \vec{u}_z \end{aligned}$$

$$\Rightarrow \vec{L}_+ = m_L \frac{C}{r^2} \cdot r^2 \vec{u}_z$$

$$\Rightarrow \boxed{\vec{L}_+ = m_L C \vec{u}_z}$$

$$Q8. \quad \vec{e} = \frac{(\dot{r}\vec{u}_r + \frac{C}{r}\vec{u}_\theta) \wedge m_L C \vec{u}_z}{G m_T m_L} - \vec{u}_r$$

$$\vec{e} = \frac{-\dot{r} m_L C \vec{u}_\theta + m_L C^2 \vec{u}_r}{G m_T m_L} - \vec{u}_r$$

$$\vec{e} = \frac{-\dot{r}C\vec{u}_\theta + C^2/r\vec{u}_r}{Gm_T} - \vec{u}$$

$$\begin{aligned}\frac{d\vec{e}}{dt} &= \frac{-\ddot{r}C\vec{u}_\theta + \dot{r}\dot{\theta}C\vec{u}_r - \frac{C^2}{r^2}\dot{r}\vec{u}_r + \frac{C^2}{r}\dot{\theta}\vec{u}_\theta}{Gm_T} - \dot{\theta}\vec{u}_\theta \\ &= \frac{(\dot{r}\dot{\theta} - \frac{C}{r^2}\dot{r})\vec{u}_r + (\frac{C^2}{r}\dot{\theta} - \ddot{r}C)\vec{u}_\theta}{Gm_T} - \dot{\theta}\vec{u}_\theta\end{aligned}$$

or $C = r^2\dot{\theta}$

$$\Rightarrow \frac{d\vec{e}}{dt} = \frac{(\dot{r}\dot{\theta} - \dot{r}\dot{\theta})\vec{u}_r + (r^3\dot{\theta}^3 - \ddot{r}r^2\dot{\theta})\vec{u}_\theta}{Gm_T} - \dot{\theta}\vec{u}_\theta$$

$$\begin{aligned}\frac{d\vec{e}}{dt} &= \frac{r^3\dot{\theta}^3 - \ddot{r}r^2\dot{\theta} - Gm_T\dot{\theta}}{Gm_T} \vec{u}_\theta \\ &= \frac{r^2\dot{\theta}(r\dot{\theta}^2 - \ddot{r}) - Gm_T\dot{\theta}}{Gm_T} \vec{u}_\theta\end{aligned}$$

Or d'après le AFD $\vec{a} \cdot \vec{u}_r = -\frac{Gm_T}{r^2}$

avec $\vec{v} = \dot{r}\vec{u}_r + r\dot{\theta}\vec{u}_\theta$

d'où $\vec{a} = \ddot{r}\vec{u}_r + \dot{r}\dot{\theta}\vec{u}_\theta + \dot{r}\dot{\theta}\vec{u}_\theta + r\ddot{\theta}\vec{u}_\theta - r\dot{\theta}^2\vec{u}_r$

$$\Rightarrow \ddot{r} - r\dot{\theta}^2 = -\frac{Gm_T}{r^2}$$

$$\Rightarrow \frac{d\vec{e}}{dt} = \frac{r^2\dot{\theta} \cdot Gm_T/r^2 - Gm_T\dot{\theta}}{Gm_T} \vec{u}_\theta = \vec{0}$$

donc \vec{e} est une constante du mouvement.

$$\text{Q9. } \vec{TL} = r\vec{u}_r \quad \text{et} \quad \vec{e} = e\vec{u}_x$$

$$\Rightarrow \vec{e} \cdot \vec{TL} = r\vec{u}_r \cdot e\vec{u}_x \\ = er \cos\theta$$

$$\text{Or on a aussi } \vec{e} = \frac{-iC\vec{u}_\theta + C^2/r \vec{u}_r}{Gm_T} - \vec{u}_r$$

$$\Rightarrow \vec{e} \cdot \vec{TL} = \frac{C^2}{Gm_T r} - r$$

$$\Rightarrow er \cos\theta = \frac{C^2}{Gm_T} - r$$

$$\Rightarrow r(1 + e \cos\theta) = \frac{C^2}{Gm_T}$$

$$r = \frac{C^2/Gm_T}{1 + e \cos\theta}$$

On reconnaît l'équation d'une ellipse

de paramètre $\rho = \frac{C^2}{Gm_T}$ et d'excentricité e .

Q10. Apogée = point de l'orbite le plus éloigné de l'astre attracteur (la Terre)

Perigée = point de l'orbite le plus près de la Terre.

$$Q11. \quad r_A = r_{\max} = r(\theta = \pi)$$

$$r_A = \frac{P}{1-e}$$

$$r_P = r_{\min} = r(\theta = 0)$$

$$r_P = \frac{P}{1+e}$$

$$\Rightarrow \frac{r_A}{r_P} = \frac{1+e}{1-e} \Rightarrow r_A(1-e) = r_P(1+e)$$

$$\Rightarrow e = \frac{r_A - r_P}{r_P + r_A}$$

$$P = r_A(1-e) = r_A \left(\frac{r_P + r_A - r_A + r_P}{r_P + r_A} \right)$$

$$P = \frac{2r_A r_P}{r_A + r_P}$$

$$AN: \quad e = \underline{6,54 \cdot 10^{-2}} \quad ; \quad P = \underline{380 \cdot 10^8 \text{ m}}$$

$$Or \quad C = \sqrt{P G m_r} \quad AN: \quad C = \underline{3,89 \cdot 10^{11} \text{ m}^2 \text{s}^{-1}}$$

$$Q12. \quad D'après l'énoncé \quad t = \pi \sqrt{a^3 P}$$

$$or \quad a = \frac{r_A + r_P}{2}$$

$$\Rightarrow \mathcal{T} = \pi \sqrt{\frac{(r_A + r_p)^3}{8} \cdot \frac{2r_A r_p}{r_A + r_p}} = \pi \frac{r_A + r_p}{2} \sqrt{r_A \cdot r_p}$$

$$\Rightarrow \frac{\mathcal{T}}{T_L} = \frac{a\pi \sqrt{r_A r_p}}{T_L} = \frac{C}{2} = \frac{\sqrt{r_A r_p \cdot G m_T}}{2}$$

avec $\rho = \frac{2r_A r_p}{r_A + r_p} \Rightarrow \frac{a\pi \sqrt{r_A r_p}}{T_L} = \frac{\sqrt{r_A r_p} \cdot \sqrt{G m_T}}{\sqrt{2} \sqrt{2a}}$

$$2\pi a^{3/2} = T_L \sqrt{G m_T} \Rightarrow \boxed{\frac{T_L^2}{a^3} = \frac{4\pi^2}{G m_T}}$$

Q13. D'après la 3^e loi de Kepler

$$T_L = 2\pi \sqrt{\frac{a^3}{G m_T}}$$

AN : $T_L = 2,35 \cdot 10^6 \text{ s} \approx \underline{27,2 \text{ jours}}$

Q14. $E_p(r) = -\frac{G m_T m_L}{r}$

Q15. $E_c(r) = \frac{1}{2} m_L (\dot{r}^2 + r^2 \dot{\theta}^2)$ or $\dot{\theta} = \frac{C}{r^2}$

$$E_c(r) = \frac{1}{2} m_L \dot{r}^2 + \frac{1}{2} m_L \frac{C^2}{r^2}$$

Q16. $E_m(r) = \frac{1}{2} m_L \dot{r}^2 + \frac{1}{2} m_L \frac{C^2}{r^2} - \frac{G m_T m_L}{r}$

La lune étant soumise à la seule attraction gravitationnelle, qui est

une force conservative $E_m = \text{cte}$
 d'après le TÉN appliquée à la Lune
 dans Rg galiléen.

$$Q17. E_m(r_A) = \frac{1}{2} m_L \frac{C^2}{r_A^2} - \frac{Gm_T m_L}{r_A}$$

$$E_m(r_p) = \frac{1}{2} m_L \frac{C^2}{r_p^2} - \frac{Gm_T m_L}{r_p}$$

$$2E_m r_{A,p}^2 + 2Gm_T m_L r_{A,p} - m_L C^2 = 0$$

$$\Delta = (4Gm_T m_L)^2 + 8m_L C^2 E_m$$

$$r_A = \frac{-2Gm_T m_L + \sqrt{\Delta}}{4E_m} \quad \left. \begin{array}{l} \\ \\ \end{array} \right\} r_A + r_p = -\frac{Gm_T m_L}{E_m}$$

$$r_p = \frac{-2Gm_T m_L - \sqrt{\Delta}}{4E_m}$$

$$\Rightarrow E_m = -\frac{Gm_T m_L}{r_A + r_p} = -\frac{Gm_T m_L}{2a}$$

$$AN : E_m = \underline{-3,83 \cdot 10^{28} \text{ J}}$$

$$Q18 E_{m,f} = -\frac{Gm_T m_L}{a} \quad \begin{array}{l} (\text{erreur dans}) \\ (\text{l'énoncé : } 1/2) \\ (\text{grand axe} = a/2) \end{array}$$

$$Q19. E_{m,f} = \frac{1}{2} m g_1^2 - \frac{G m_T m_f}{R_T} = - \frac{G m_T m_L}{a}$$

$$\Rightarrow v = \sqrt{2 G m_T \left(\frac{1}{R_T} - \frac{1}{a} \right)}$$

$$AN: v = \underline{11 \cdot 10^4 \text{ m.s}^{-1}} = 11,1 \text{ km.s}^{-1}$$

Q20. La Terre occupe un des foyers de l'ellipse.

- * période pour la fusée : $T_f = 2\pi \sqrt{\frac{(a/2)^3}{G m_T}}$
- * période pour la Lune : $T_L = 2\pi \sqrt{\frac{a^3}{G m_T}}$

$$\Rightarrow 2\sqrt{2} T_f = T_L \Rightarrow \frac{T_f}{T_L} = 0,177$$

$$\begin{matrix} \text{Et } 360^\circ \rightarrow T_L \\ ? \quad \rightarrow 0,177 T_L \end{matrix}$$



La fusée doit démarrer lorsque l'angle $LTL' = 65^\circ$
(L' = apogée de la fusée sur son orbite elliptique)

Q21. La fusée parcourt la moitié de l'ellipse

$$\frac{T^2}{(\frac{a}{2})^3} = \frac{4\pi^2}{G m_T} \Rightarrow \text{Durée} = \frac{T}{2} = \pi \sqrt{\frac{a^3}{8G m_T}}$$

$$AN: \frac{T}{2} = 4,16 \cdot 10^5 \text{ s} \approx 4,8 \text{ jours.}$$

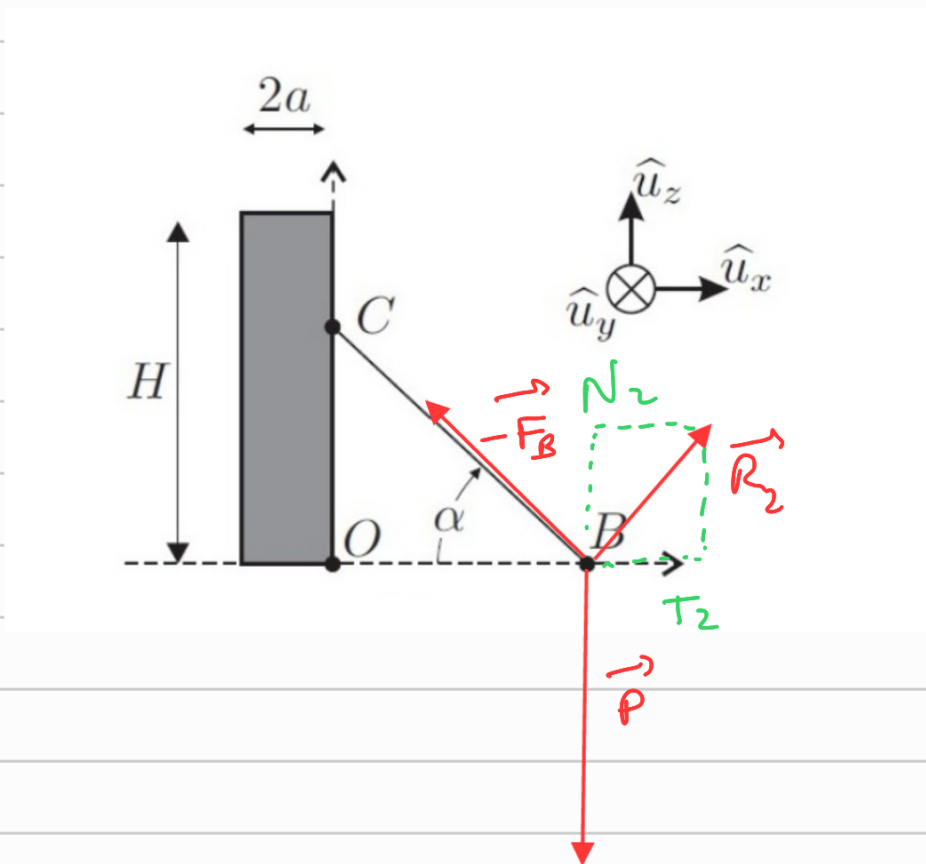
Exercice 3 :

Q1. Le principe d'inertie appliqué au câble dans R_g galiléen donne :

$$-\vec{F} + \vec{F}_B + \vec{P} = \vec{0}$$

\hookrightarrow négligé ici
 $\Rightarrow \vec{F} = \vec{F}_B$.

Q2. Forces exercées sur le lucheron :



à l'équilibre $\vec{P} - \vec{F}_B + \vec{R}_2 = \vec{0}$

Projection sur \vec{u}_x et \vec{u}_y

$$\left\{ \begin{array}{l} -F \cos \alpha + T_2 = 0 \\ F \sin \alpha - mg + N_2 = 0 \end{array} \right.$$

et dans le cas du non glissement $T_2 < f \cdot N_2$

$$F = \frac{T_2}{\cos \alpha} < \frac{f N_2}{\cos \alpha} \quad (\text{ici } T_2 \text{ et } N_2 > 0)$$

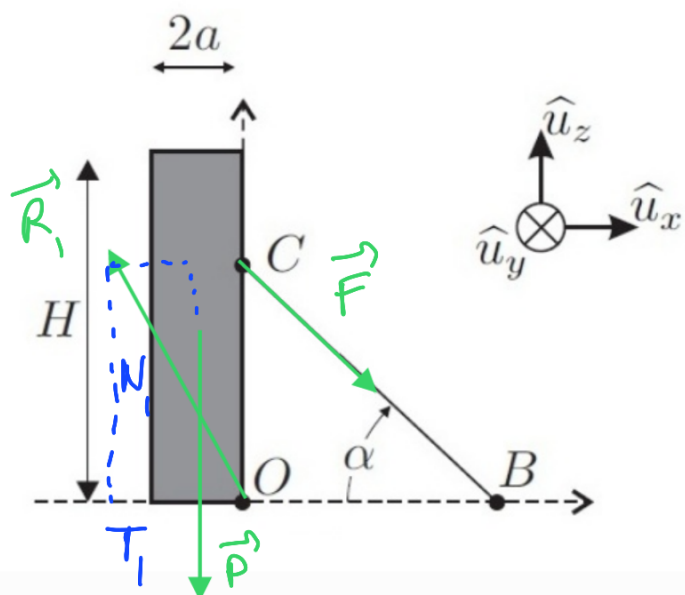
avec $N_2 = mg - F \sin \alpha$

$$F < \frac{f}{\cos \alpha} (mg - F \sin \alpha)$$

$$F \left(1 + \frac{f \sin \alpha}{\cos \alpha} \right) < \frac{f mg}{\cos \alpha}$$

$$F < \frac{f mg}{\cos \alpha + f \tan \alpha}$$

Q 3.



Première loi de Newton appliquée à l'arbre dans R_+ galiléen :

$$\vec{R}_i + \vec{P} + \vec{F} = \vec{0}$$

Projection sur \vec{u}_x et \vec{u}_y

$$\left\{ \begin{array}{l} T_i + F \cos \alpha = 0 \\ -\eta g - F \sin \alpha + N_i = 0 \end{array} \right.$$

$$\left\{ \begin{array}{l} T_i = -F \cos \alpha \\ N_i = \eta g + F \sin \alpha \end{array} \right.$$

Il y a glissement si $|T_i| = f \cdot |N_i|$

$$\text{or } T_i < 0 \Rightarrow T_i = -f N_i \Rightarrow \frac{T_i}{N_i} = -f$$

$$\Rightarrow -\frac{F \cos \alpha}{\eta g + F \sin \alpha} = -f$$

$$-F \cos \alpha = -f \eta g - f F \sin \alpha$$

$$f' (f \sin \alpha - \cos \alpha) = -f \eta g$$

$$f' = \frac{f \eta g}{\cos \alpha - f \sin \alpha}$$

or $f \eta g > f mg$ et $\cos \alpha - f \sin \alpha < \cos \alpha + f \sin \alpha$

$$\Rightarrow f' > f$$

donc si $0 \leq f \leq F_{\max}$ alors la condition de glissement au niveau de l'arbre n'est jamais satisfaite.

$$\begin{aligned}
 Q4. \quad J\ell_{Oy}(\vec{P}) &= (\vec{OG} \wedge \vec{P}) \cdot \vec{u}_y \\
 &= \left[-a\vec{u}_z + \frac{\kappa}{2}\vec{u}_3 \right] \wedge (-ng\vec{u}_3) \cdot \vec{u}_y \\
 &= -a\pi g \vec{u}_y \cdot \vec{u}_y \\
 \boxed{J\ell_{Oy}(\vec{P}) = -a\pi g}
 \end{aligned}$$

D'après le TNC appliqué à l'arbre dans R_+ galiléen, par rapport à l'axe Oy :

$$\ddot{J\theta} = J\ell_{Oy}(\vec{P}) + J\ell_{Oy}(\vec{F}_B) + \underbrace{J\ell_{Oy}(\vec{R}_1)}_{=0 \text{ car } \vec{R}_1 \text{ coupe }(Oy)}$$

L'arbre commence à pivoter pour

$$J\ell_{Oy}(\vec{P}) + J\ell_{Oy}(\vec{F}_B) > 0$$

$$\boxed{J\ell_{Oy}(\vec{F}_B) > a\pi g}$$

Q6. L'angle α_m influe sur la distance bras de levier pour le moment de la force \vec{F} par rapport à (Oy) .

Le bras de levier est donné par $OB \sin \alpha$.
 avec $OB = l \cos \alpha$
 \Rightarrow bras de levier = $l \cos \alpha \sin \alpha = \frac{l}{2} \sin 2\alpha$

le bras de levier est maximal pour $\alpha_m = \pi/\zeta$.

Q7. $J_{6oy}(\vec{F}_B) = \frac{l}{2} \sin\alpha \cdot F_{max} = \frac{lm g \sin\alpha \cos\alpha}{\cos\alpha + f \sin\alpha}$

$$J_{6oy}(\vec{F}_B) = \frac{lm g}{\frac{1}{f \sin\alpha} + \frac{1}{\cos\alpha}}$$

$J_{6oy}(\vec{F}_g)$ est maximal pour $\frac{1}{f \sin\alpha} + \frac{1}{\cos\alpha}$ minimal

On dérive par rapport à α pour trouver le minimum :

$$\frac{1}{f} (-\cos\alpha_m \cdot \sin^2\alpha_m) + \sin\alpha_m \cos\alpha_m^{-2} = 0$$

$$\frac{1}{f} \frac{\cos\alpha_m}{\sin^2\alpha_m} = \frac{\sin\alpha_m}{\cos^2\alpha_m} \Rightarrow \frac{1}{f} \cos^3\alpha_m = \sin^3\alpha_m$$
$$\Rightarrow f = \frac{1}{(\tan\alpha_m)^3}$$

$$\Rightarrow \alpha_m = \arctan\left(\frac{1}{\sqrt[3]{f}}\right)$$

Pour $f=1$ on a bien $\alpha_m = \pi/\zeta$.

Q8. $F_{max} = \frac{f mg}{\cos\alpha + f \sin\alpha}$

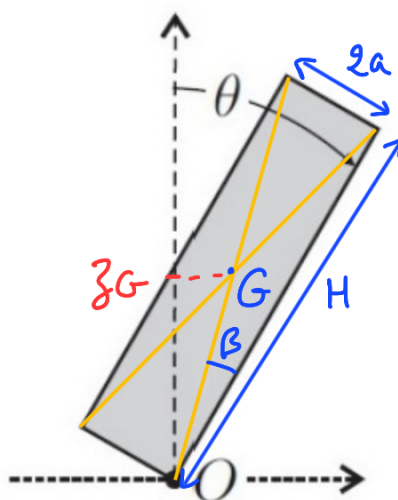
AN: $F_{max} = 693 \text{ N}$

$$\text{et } \frac{l}{2} \sin 2\ell F_{max} > a \pi g$$

$$l > \frac{2a\pi g}{\sin 2\ell F_{max}}$$

$$\underline{l = 13,8 \text{ m}}$$

Q9.



$$E_p = \pi g z_G$$

$$\text{avec } \beta = \arctan \frac{2a}{H}$$

$$\text{et } z_G = OG \cos(\theta - \beta)$$

avec $OG = \frac{1}{2}$ diagonale de l'arbre

$$= \frac{1}{2} \sqrt{4a^2 + H^2}$$

$$E_p = \frac{1}{2} \pi g \sqrt{4a^2 + H^2} \cdot \cos(\theta - \arctan \frac{2a}{H})$$

L'énergie potentielle est maximale pour $\theta = \arctan \frac{2a}{H}$. Au delà de cette valeur l'arbre va chuter.

(On peut aussi déterminer θ_{\min} avec le moment du poids : pour $\theta - \beta > 0$ G est à droite de O \Rightarrow l'arbre chute ce qui correspond au même $\theta_{\min} = \arctan \frac{2a}{H}$)

$$Q10 \quad \Gamma_v = \left(\sum \overrightarrow{\Omega_i} \wedge \overrightarrow{dF_v} \right) \cdot \vec{u}_y$$

$$\text{avec } \overrightarrow{\Omega_i} = g_i \vec{u}_z$$

$$\text{et } \overrightarrow{dF_v} = 2a C_x p_a u^2 dz \vec{u}_x$$

$$\Rightarrow \Gamma_v = \int_0^H 2a C_x p_a u^2 g_z dz (\vec{u}_z \wedge \vec{u}_x) \cdot \vec{u}_y$$

$$\boxed{\Gamma_v = a C_x p_a u^2 H^2}$$

Q11. D'après le texte

$$\begin{cases} \Gamma_r(0) = \Gamma_0 \\ \Gamma_r(\theta_c) = 0 \end{cases}$$

$$D' où \quad \Gamma_0 (\beta + \alpha + \alpha) = \Gamma_0 \Rightarrow \beta = 1$$

et on lit $\Gamma_r = 0$ pour $\theta = 10^\circ$

$$\Rightarrow \theta_c = 10^\circ.$$

$$Q12. \quad \left. \frac{d\Gamma_r}{d\theta} \right|_{\theta_m} = 0$$

$$\frac{d}{d\theta} \left(\Gamma_0 \left(1 + \frac{4\theta}{\theta_c} - 5 \frac{\theta^2}{\theta_c^2} \right) \right) = 0$$

$$\frac{4}{\theta_c} - 10 \frac{\theta_m}{\theta_c^2} = 0 \Rightarrow \theta_m = \frac{2}{5} \theta_c$$

$$\begin{aligned} \Gamma_m &= \Gamma_r(\theta_m) = \Gamma_0 \left(1 + 4 \cdot \frac{2}{5} - 5 \cdot \left(\frac{2}{5} \right)^2 \right) \\ &= \Gamma_0 \left(1 + \frac{8}{5} - \frac{20}{25} \right) = \Gamma_0 \left(\frac{25+40-20}{25} \right) \end{aligned}$$

$$\boxed{\Gamma_m = \frac{9}{5} \Gamma_0}$$

Q13. Graphiquement on lit $\theta_m = 6^\circ$
or $\frac{2}{5} \cdot 10 = 6^\circ \Rightarrow$ cohérent

$$\text{et } \Gamma_m = -17 \cdot 10^3 \text{ N.m}$$

$$\text{or } \frac{9}{5} \cdot (-10 \cdot 10^3) = -1800 \text{ N.m}$$

\Rightarrow valeurs proches (écart relatif 5%)

Q14. le TEC scalaire appliqué à l'arbre dans R_+ galiléen par rapport à Oy donne :

$$\Delta E_C = \int_0^t (\Gamma_U + \Gamma_r) \cdot \dot{\theta} dt$$

$$\Rightarrow \frac{1}{2} J \dot{\theta}^2 - 0 = \int_0^\theta \left(\Gamma_U + \Gamma_0 \left(1 + \frac{4\theta}{\theta_c} - \frac{5\theta^2}{\theta_c^2} \right) \right) d\theta$$

$$\frac{1}{2} J \dot{\theta}^2 = \int_0^\theta \left(\Gamma_U + \Gamma_0 + 4\Gamma_0 \frac{\theta}{\theta_c} - 5\Gamma_0 \frac{\theta^2}{\theta_c^2} \right) d\theta$$

$$\text{or } \Gamma_0 < 0 \Rightarrow \Gamma_0 = -|\Gamma_0|$$

$$\begin{aligned} \frac{1}{2} J \dot{\theta}^2 &= (\Gamma_U - |\Gamma_0|)\theta - \frac{4}{\theta_c} |\Gamma_0| \frac{\theta^2}{2} + \frac{5|\Gamma_0|}{\theta_c^2} \frac{\theta^3}{3} \\ &= |\Gamma_0| \theta \left[\left(-1 + \frac{\Gamma_U}{|\Gamma_0|} \right) - 2 \frac{\theta}{\theta_c} + \frac{5}{3} \frac{\theta^2}{\theta_c^2} \right] \end{aligned}$$

$$\boxed{\frac{1}{2} J \dot{\theta}^2 = |\Gamma_0| \theta \left(p - 1 - 2u + \frac{5}{3} u^2 \right)}$$

Q15 L'arbre sera déraciné si $\dot{\theta} > 0$ pour tout θ de l'intervalle $[0, \theta_c]$, soit $u \in [0, 1]$

$$\dot{\theta} > 0 \Leftrightarrow p - 1 - 2u + \frac{5}{3} u^2 > 0$$

Minimum du polynôme : $\frac{5}{3}u^2 - 2u + p - 1$

$$\frac{10}{3}u - 2 = 0 \Leftrightarrow u = \frac{6}{10}$$

$$\text{Et } P(0,6) = \frac{5}{3} \frac{36}{100} - 2 \frac{6}{10} + p - 1$$

$$= \frac{180}{300} - \frac{12}{10} + p - 1$$

$$= \frac{6-12}{10} + p - 1 = -\frac{16}{10} + p.$$

Pour $p - \frac{16}{10} > 0$ l'arbre sera déraciné.

$$\Leftrightarrow p_c = 1,6 \quad \text{soit} \quad \Gamma_0 > 1,6 |\Gamma_0|$$

$$\Leftrightarrow a C_x p_a U^2 H^2 > 1,6 |\Gamma_0|$$

$$U > \sqrt{\frac{1,6 |\Gamma_0|}{a C_x p_a H^2}}$$

AN: $U > 11,1 \text{ m.s}^{-1}$